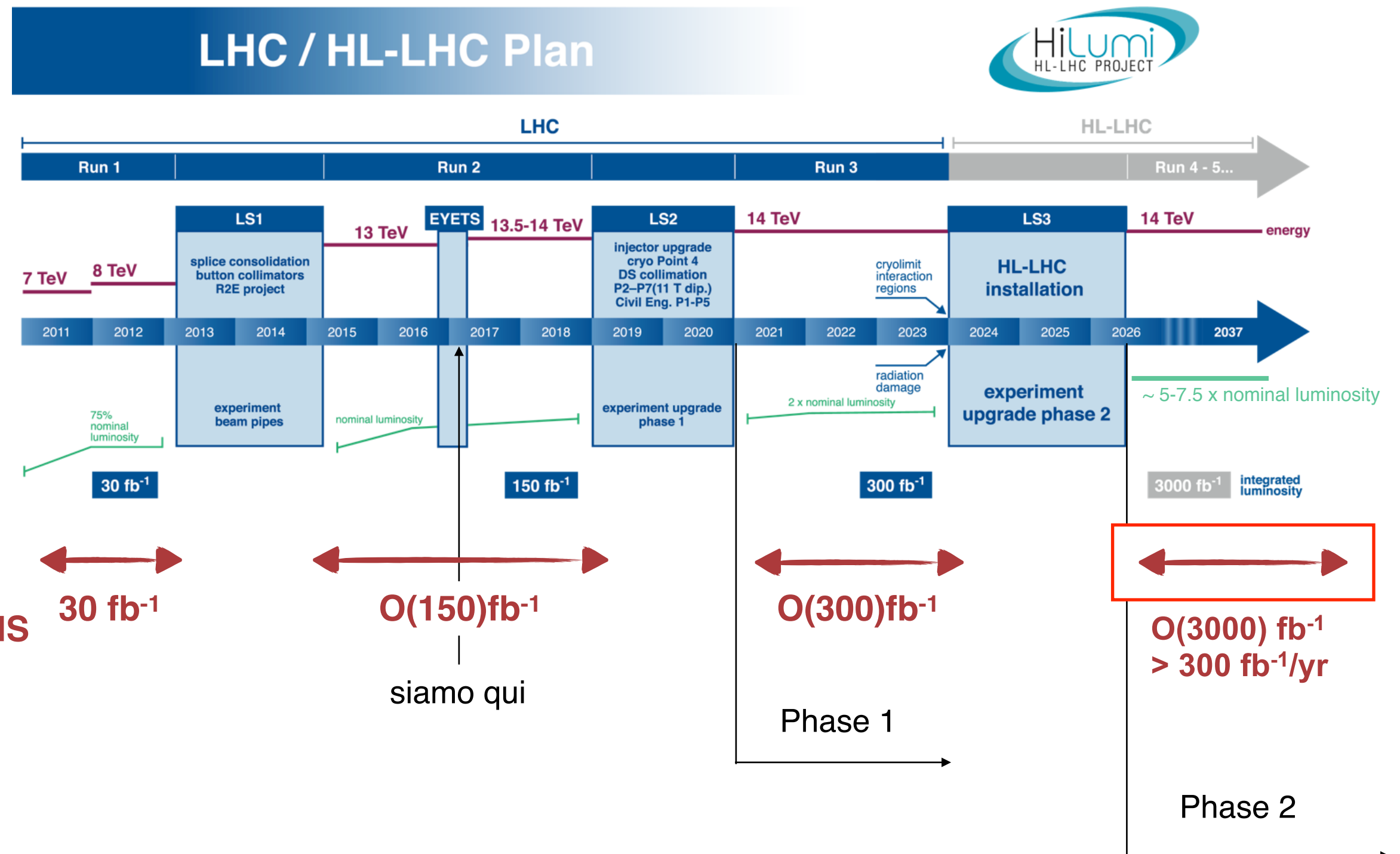


Sistemi di power supplies per l'upgrade degli esperimenti ad LHC

Simone Paoletti - INFN Firenze

ITALY at CERN 2017
CERN, 4 aprile 2017

L'evoluzione di LHC



ALICE e LHCb

Upgrades principali durante il LS2 (in prep. RUN3)

- Già prese diverse delle decisioni sul detector e decise le responsabilità dei vari gruppi

LHCb, upgrades LS2

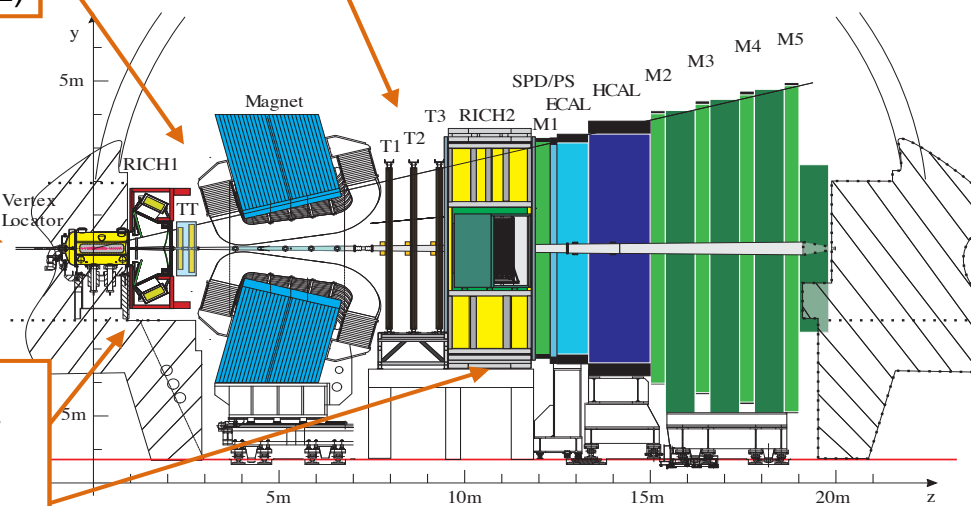
Upstream-Tracker:
nuovi Si-Strip (n+ -in- p) → maggiore granularità, nuovo FE e servizi (raffreddamento a CO₂)

Main tracker: nuove T-Stations
“Large Scintillating Fibre Tracker”
3 stazioni di 4 piani di fibre scintillanti ($\varnothing 250\mu\text{m}$, L=2.5m) lette da SiPM (SiPM tenuti a -40°C)

Nuovo VELO (pixels)

Upgraded RICH

- nuovo FE e rivelatori MAPMT (FE chip “CLARO”)
- nuova ottica per RICH1



LHCb

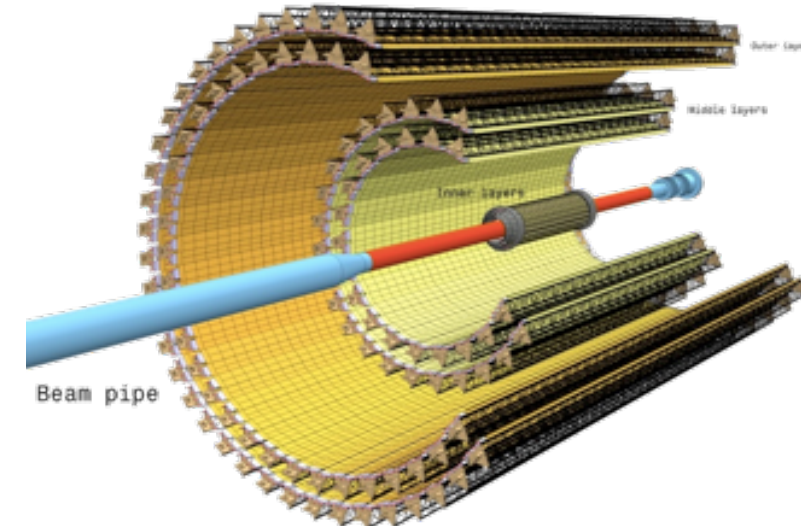
- Per la fase 2 di LHCb l’Italia contribuisce nei seguenti sotto-rivelatori: Upstream Tracker (UT), RICH, Muon System
- UT
 - L’Italia non è responsabile delle Power Supplies
 - Per UT, sia per il LV che per HV, si utilizzeranno gli alimentatori attualmente usati in ST e TT, rivelatori che vengono dismessi con la fase 1, e se necessario si integra con nuovi alimentatori (attualmente non previsti)
- RICH
 - L’Italia non è responsabile delle Power Supplies
 - Si prevede che verranno acquistati alimentatori HV per i MAPMT
 - Gli attuali alimentatori di LV (Maraton) verranno utilizzati anche in fase 2
- Muon
 - Viene cambiata l’elettronica di lettura dei rivelatori ma si mantiene tutta la parte di alimentatori di LV (Maraton). Non cambiando i detector non si prevede di modificare la parte di alimentatori di HV (CAEN + PNPI/Florida)

ALICE upgrade



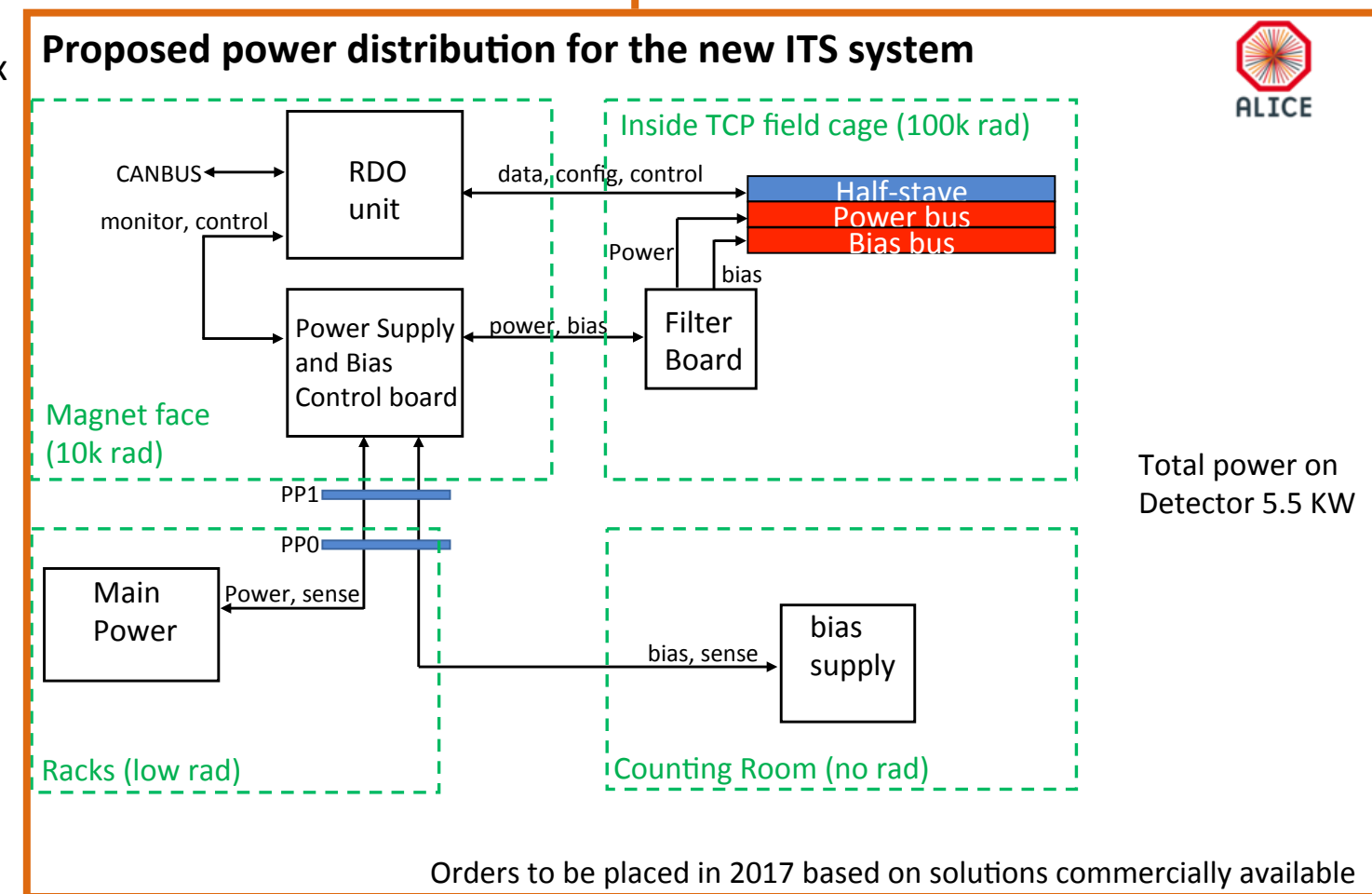
During LS2 (2019-2020)

- Major upgrades in ITS (inner tracking system, silicon vertex detector) and TPC
- Several detectors upgraded in terms of readout electronics (TOF, TRD, MUON, ZDC)
- Italian funding agencies (mainly INFN) contributes to upgrade programmes for: ITS, TOF, MUON, ZDC



Main opportunities for Italian companies:

- Power supply distribution for ITS
- New readout electronics for TOF, MUON, ZDC
- Current power supply systems for TOF and ZDC, based on CAEN modules are expected to be maintained after LS2
- Readout electronics will make use of GBTx chip and VTRx optical receivers



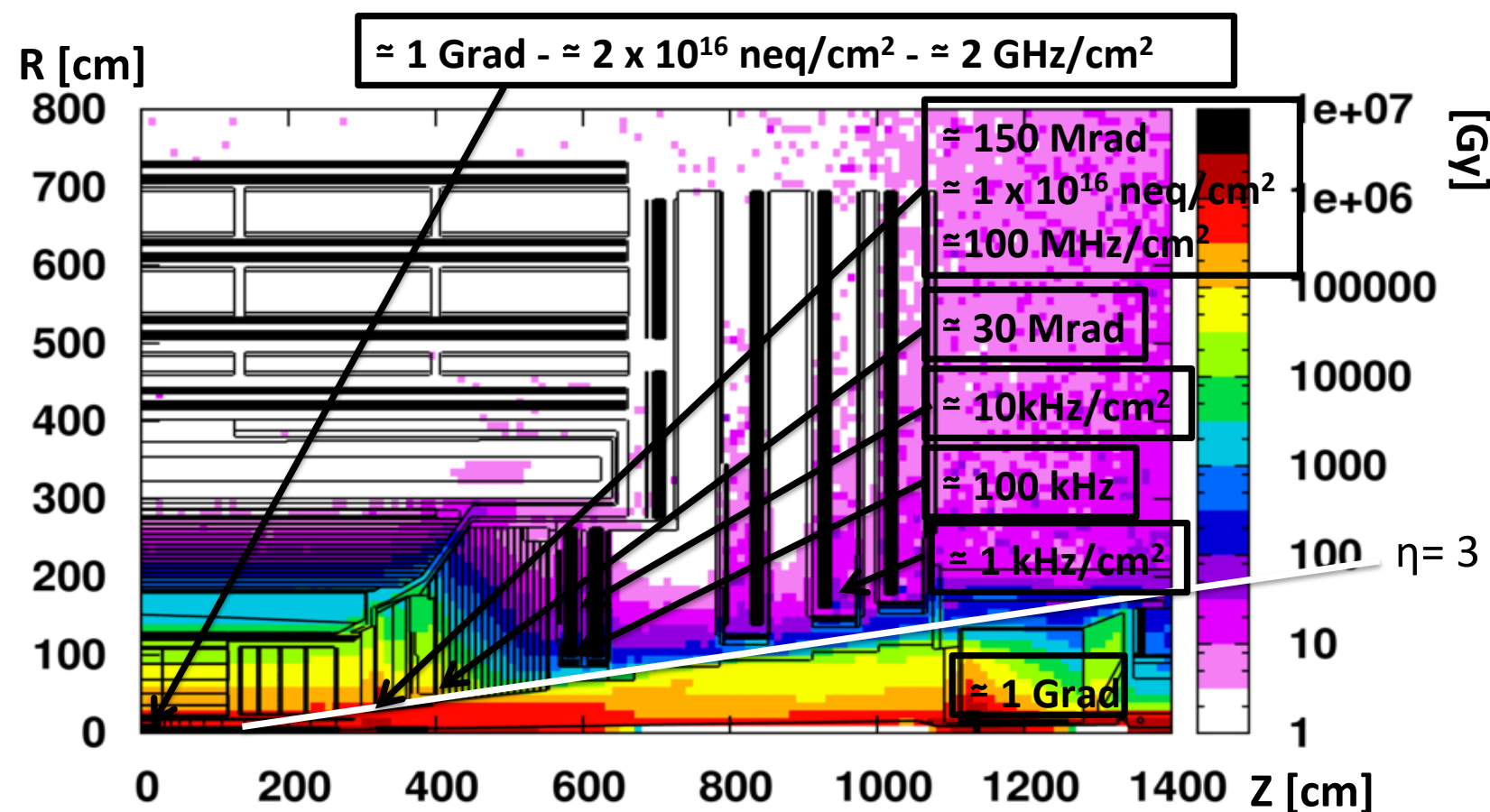
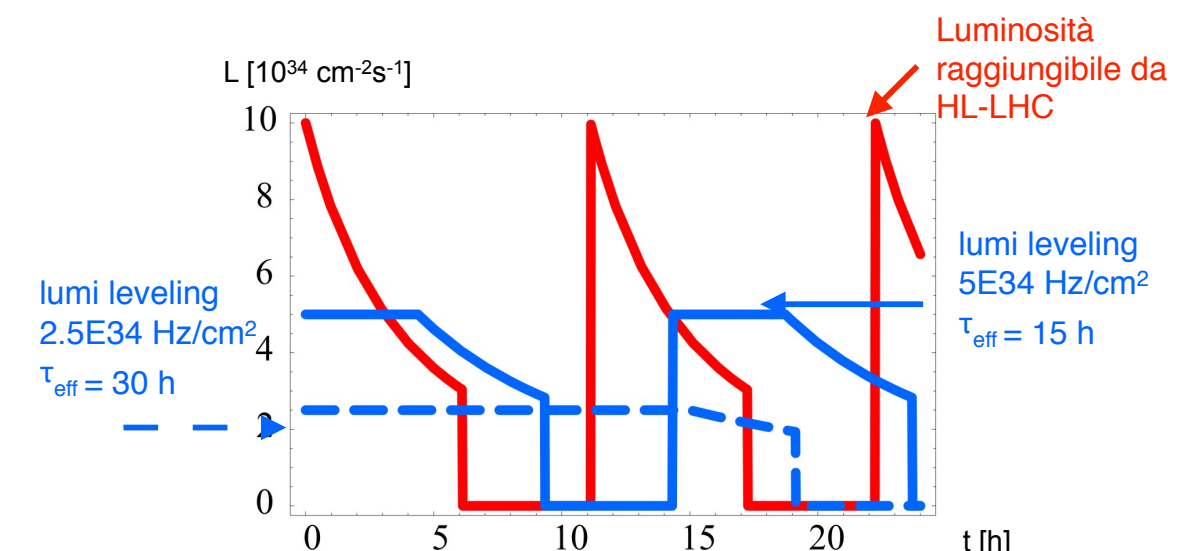
ATLAS e CMS

- Vari upgrade tra LS1 e LS2 (ben avviati o conclusi) precedendo la fase2
- Gli upgrade di fase2 sono in via di definizione (TDR in scrittura attesi per 2017-2018) e quindi varie decisioni non sono ancora definite

HL-LHC → PU e radiazione

**Rates di riferimento (ATLAS/CMS)
per HL-LHC:**

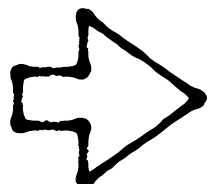
- $L \sim 5-7.5 \times 10^{34} \text{ Hz/cm}^2$
- $\langle \text{PU} \rangle \sim 140-200 \text{ int / bx}$



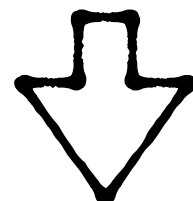
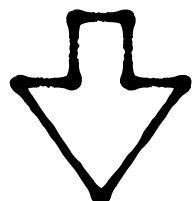
CMS radiation dose map, neutron equivalent fluence and particle rates for luminosities of 3000 fb^{-1} (integrated) and $5 \times 10^{34} \text{ Hz/cm}^2$ (instantaneous)

Alcune considerazioni generali

- Alti livelli di radiazione
- Alto “pile up”
- Alto data-rate



- sostituzione dei rivelatori più esposti
→ resistenza alla radiazione, granularità, material budget
- link ottici innovativi e conversione digitale “live” (40 MHz) sul detector
- potenziamento sistemi di trigger e di DAQ, back-end e computing



Maggiori richieste sui servizi:

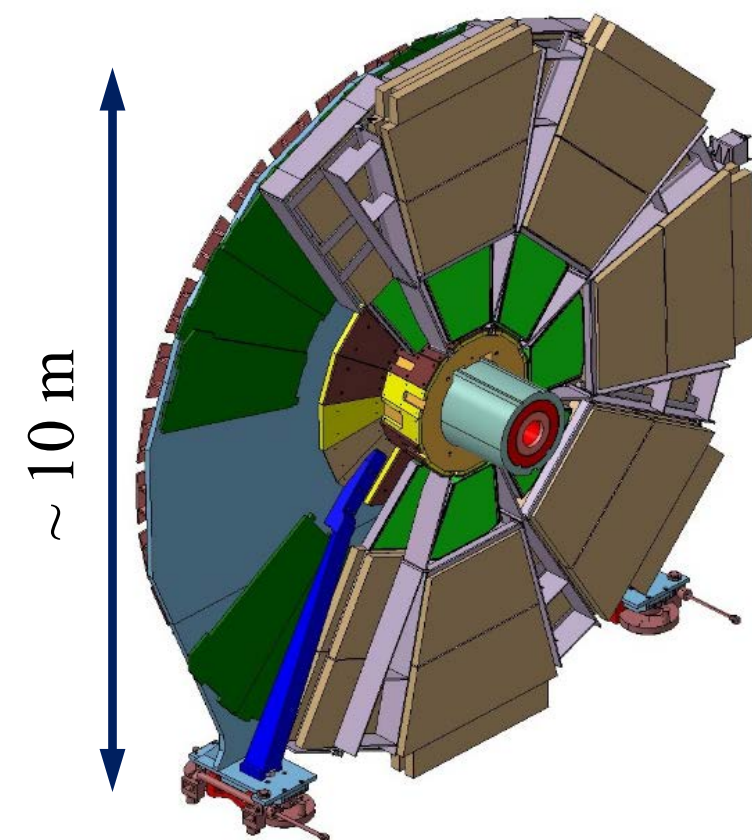
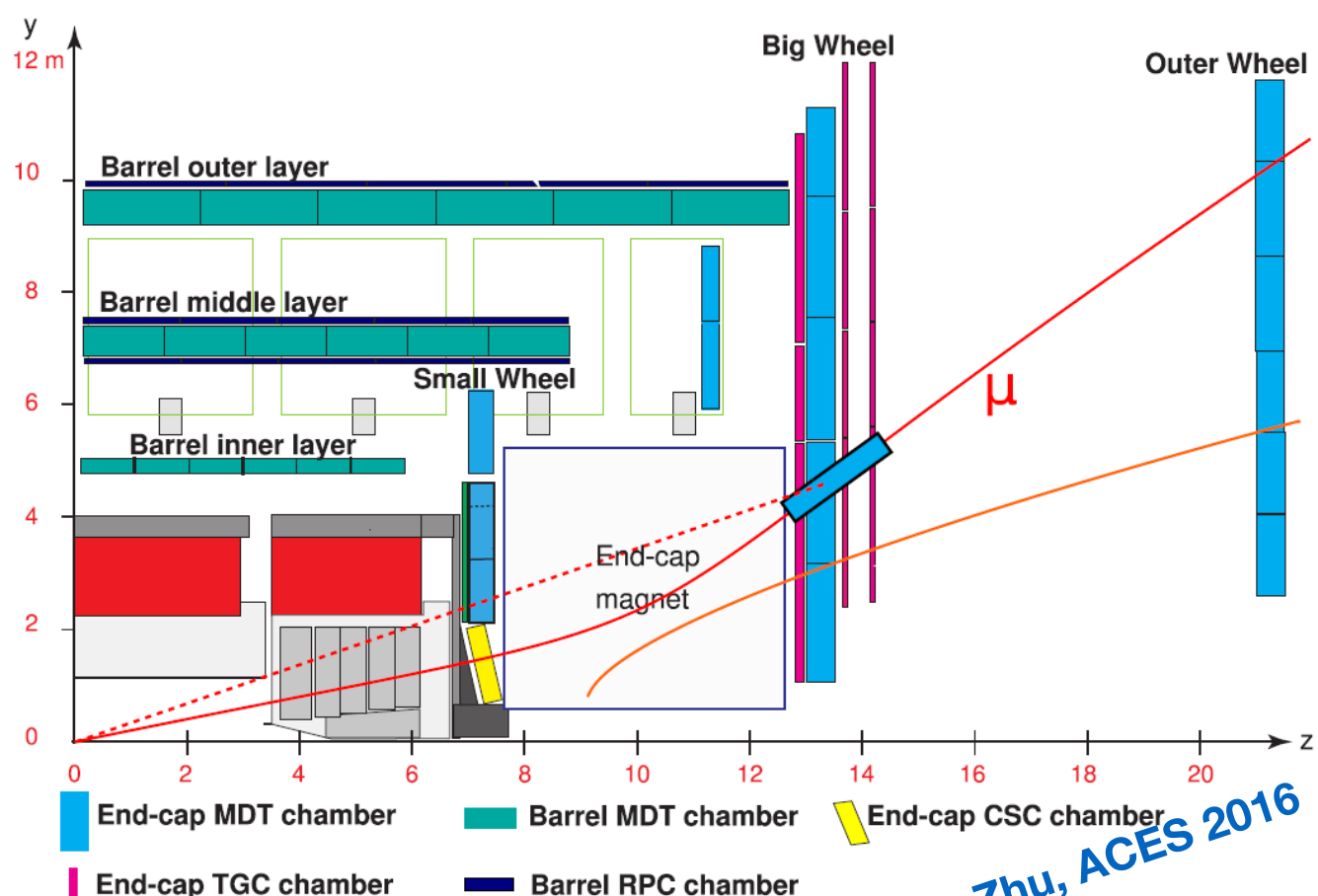
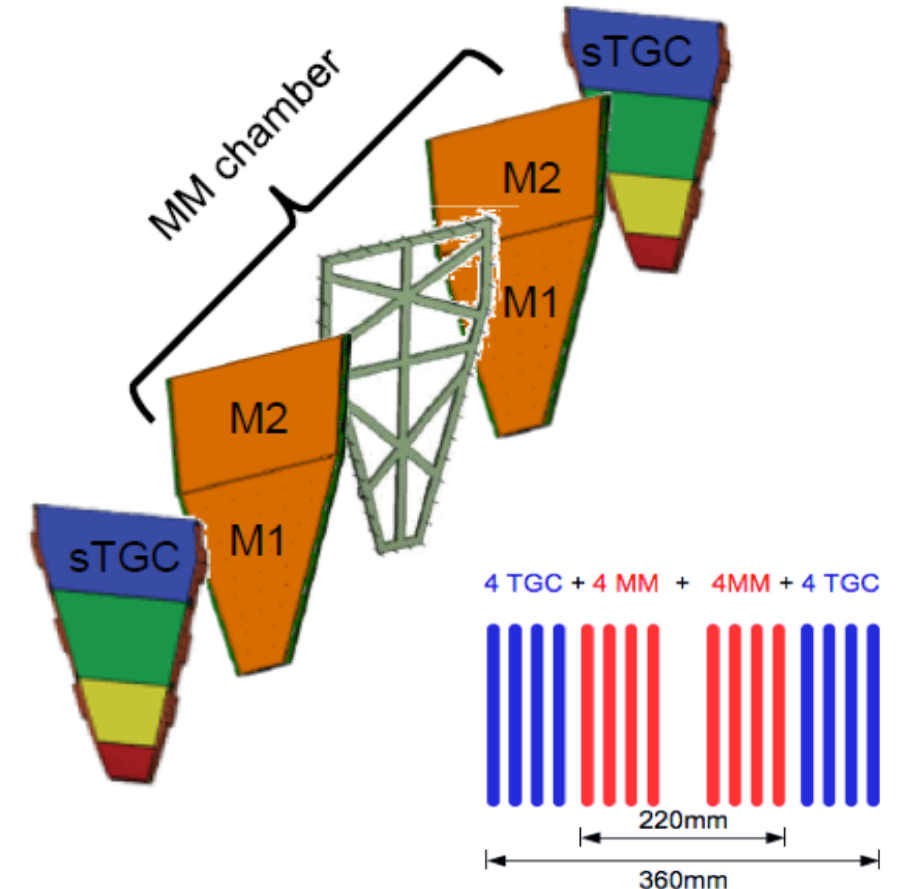
- elevato n.canali → gestione sistemi più complessa
- maggiore richiesta di potenza
- basso V (elettronica a tecnologia 130nm o 65 nm)
- maggiore precisione → rivelatori più “leggeri” (material budget) → limite sulla sezione di rame usabile nei conduttori

Nuovi rivelatori per μ in avanti

La fisica di HL-LHC richiede di coprire la regione in
avanti con rivelatori veloci ed innovativi

ATLAS: New Small Wheel

- stazione μ più interna degli endcap, migliora puntamento tracce verso l'origine
- abbatte il n. di falsi trigger al primo livello
- sostituisce MDT+TGC usati nella SM attuale con:
 - ✓ sTGC “small-strip Thin Gas Chamber” ($\sim 3\text{mm}$ pitch)
 - ✓ Micromesh Gaseous Structure Detector (Micromegas $\sim 0.5\text{mm}$ pitch)
- rates: fino a 15 kHz/cm^2



Junjie Zhu, ACES 2016

Sistema di alimentazione per NSW

- HV: <600V (MM) e 2.8kV (sTGC)
 - sistemi “standard” in area non ostile (EASY3000)
- LV: ~ 110kW @ (1.2V - 2.5V) su 7500 boards
 - uso di DC/DC integrati (famiglia FEAST, input: 5-12 V_{DC})
 - alimentati da “Intermediate Conversion Stage” 48V → 12 V

moduli a 8 canali

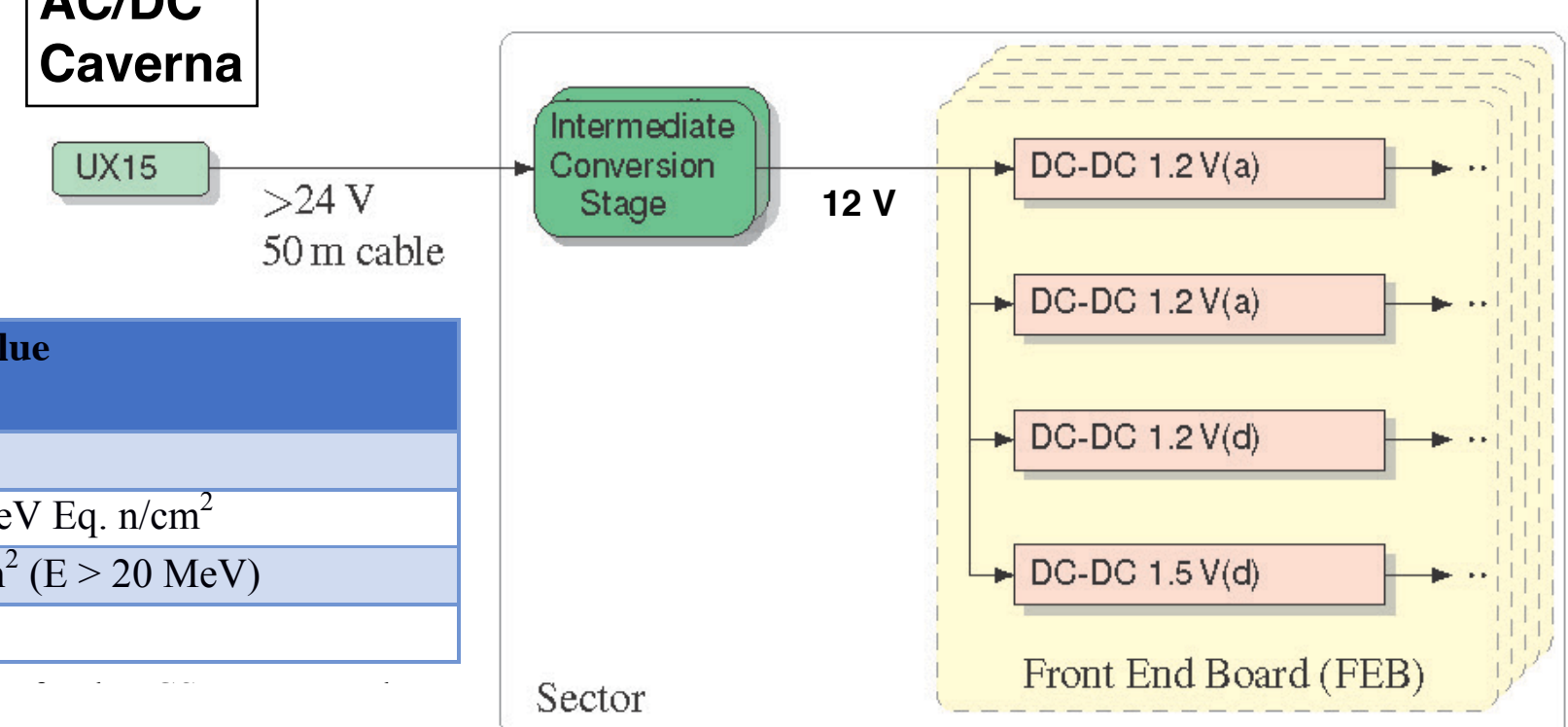
- 80 moduli MM
- 48 moduli sTGC

Gara da effettuarsi
in tempi brevi,
coinvolgimento
italiano

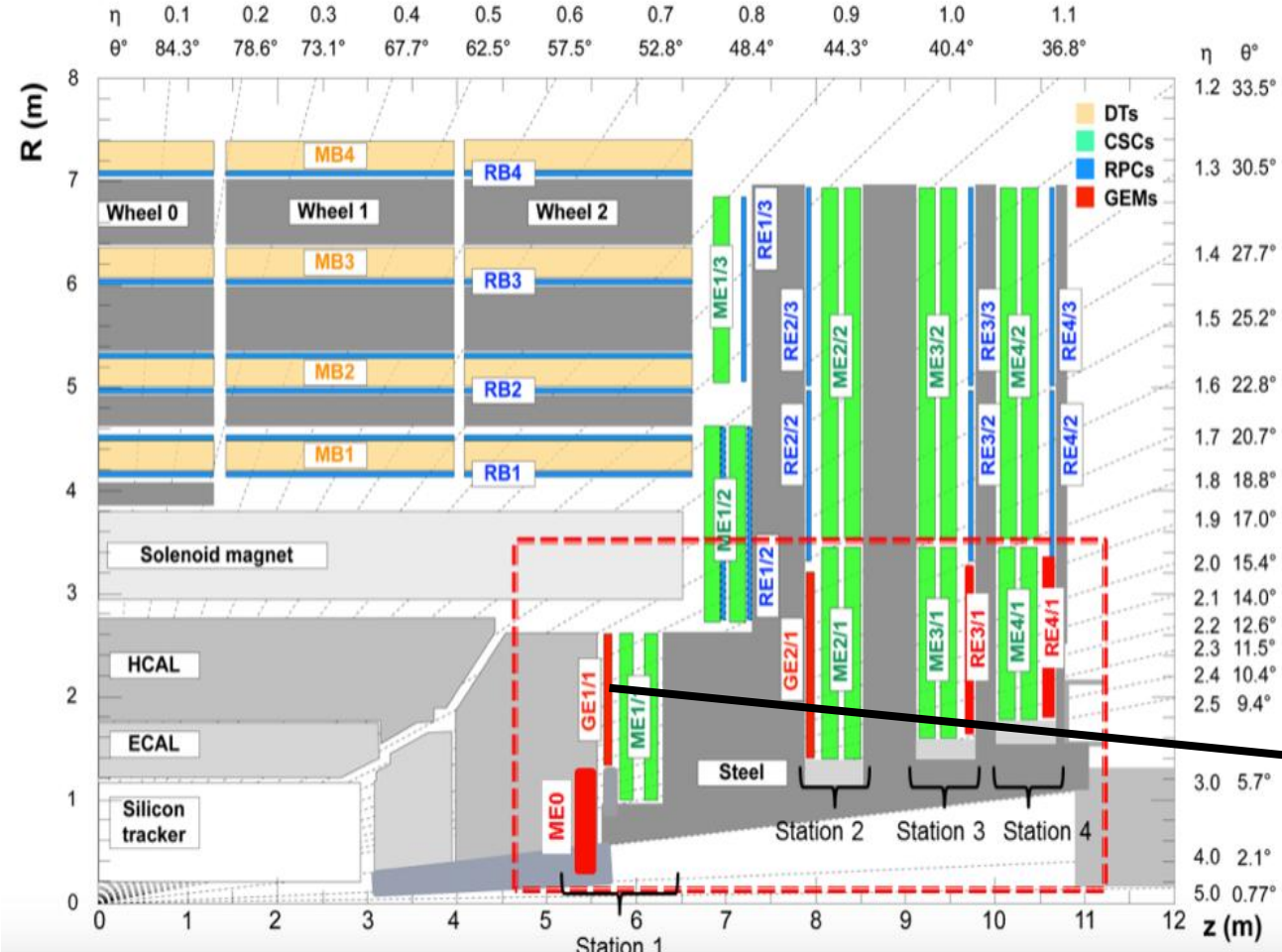
Environmental Tolerance	Required Value
Ionizing Radiation	96 Gy
Displacement Damage	5.8×10^{12} 1-MeV Eq. n/cm ²
Single-Event Fluence	1.0×10^{12} p/cm ² (E > 20 MeV)
Magnetic Field	0.5 T

Intermediate Conversion Stage

- Stand alone box 90x200x200 mm³
- Embedded minimal controls and monitoring
- Logica di trip per Vmax e Imax
- 190 W/ch
- canali floating ed isolati



CMS: μ -tagging ad alto n



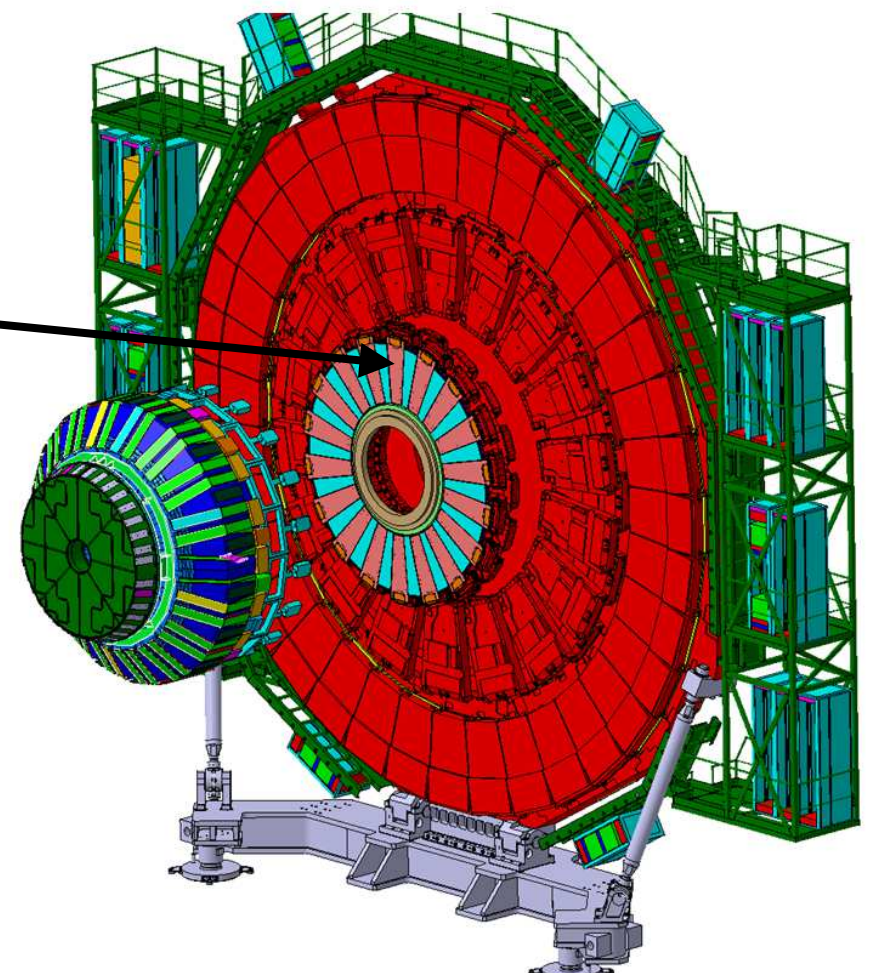
RPC fino a LS3:

Continuare con il sistema EASY:

120 A3009 + 150 A3512

(con upgrade infrastrutturali: AC/DC, EASY, SY)

RE31 e RE41 (se approvati): 24 A3512 + 20 A3009



GE11 (2016-2019):

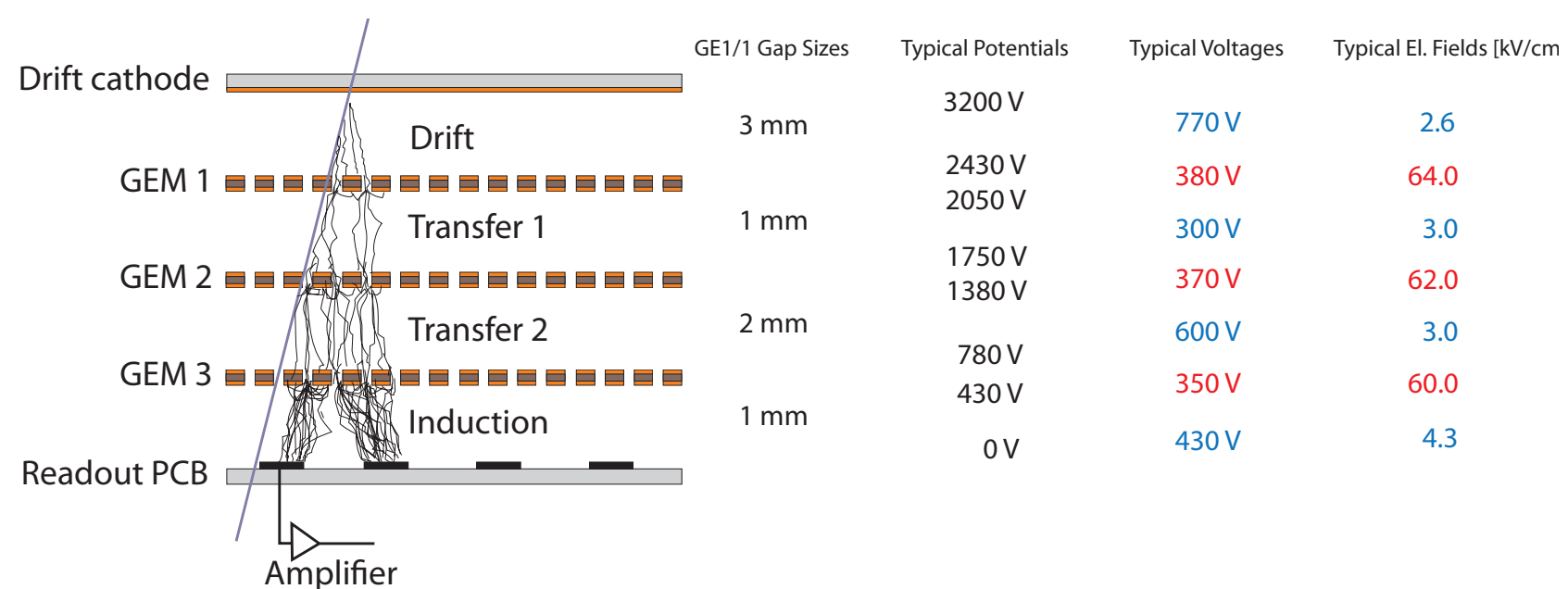
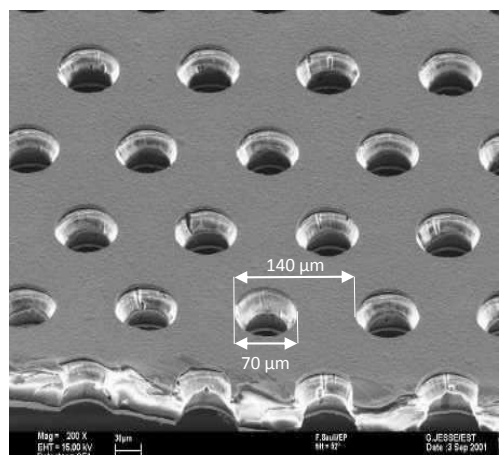
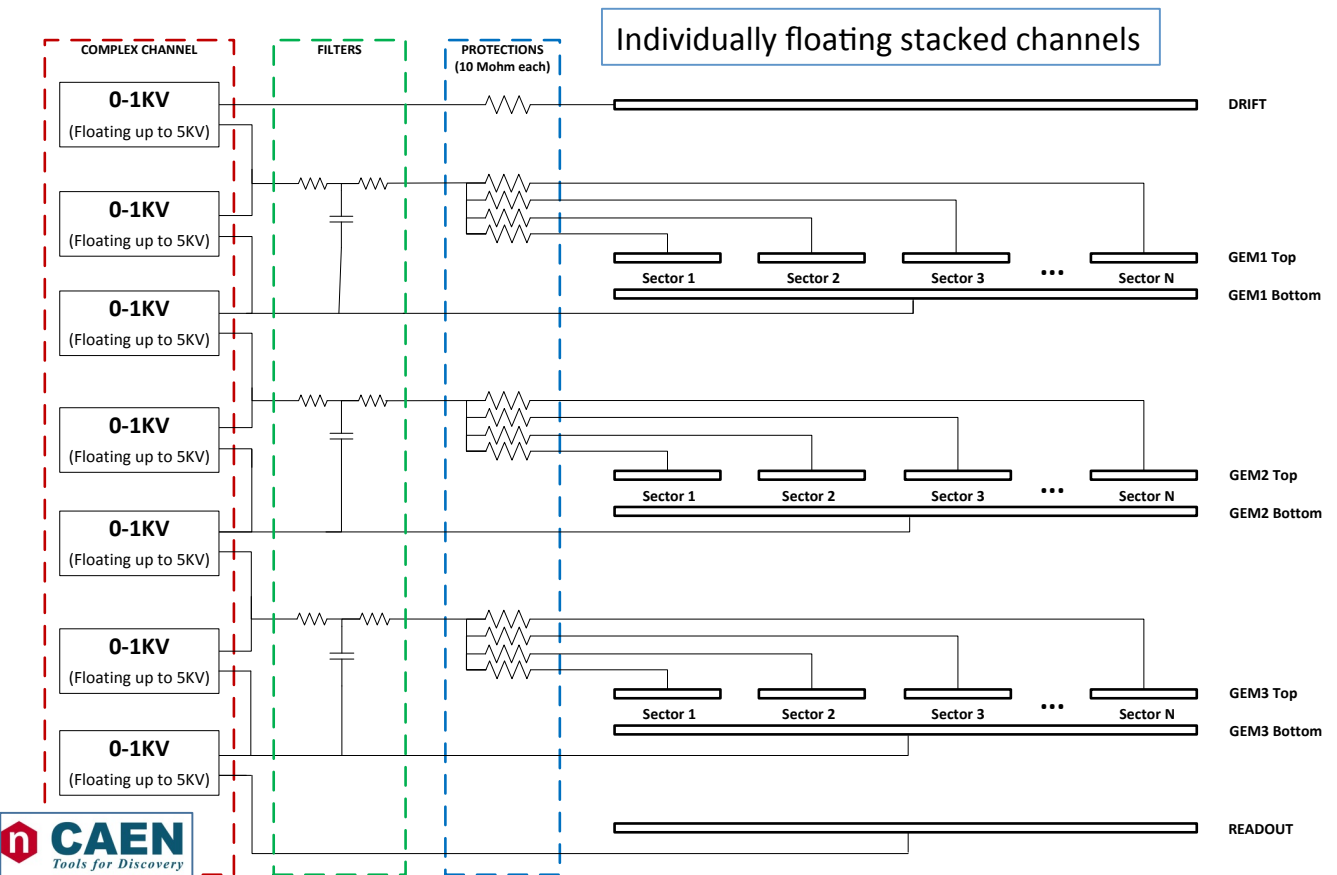
- Sistema HV distribuito collocato in area non ostile (USC)
 - **A1515TG** Floating High Voltage Power Supplies: (70-80 ?)
 - Low voltage “standard” con sistema EASY: (50 ?)

GE21 (2023): simile a GE11

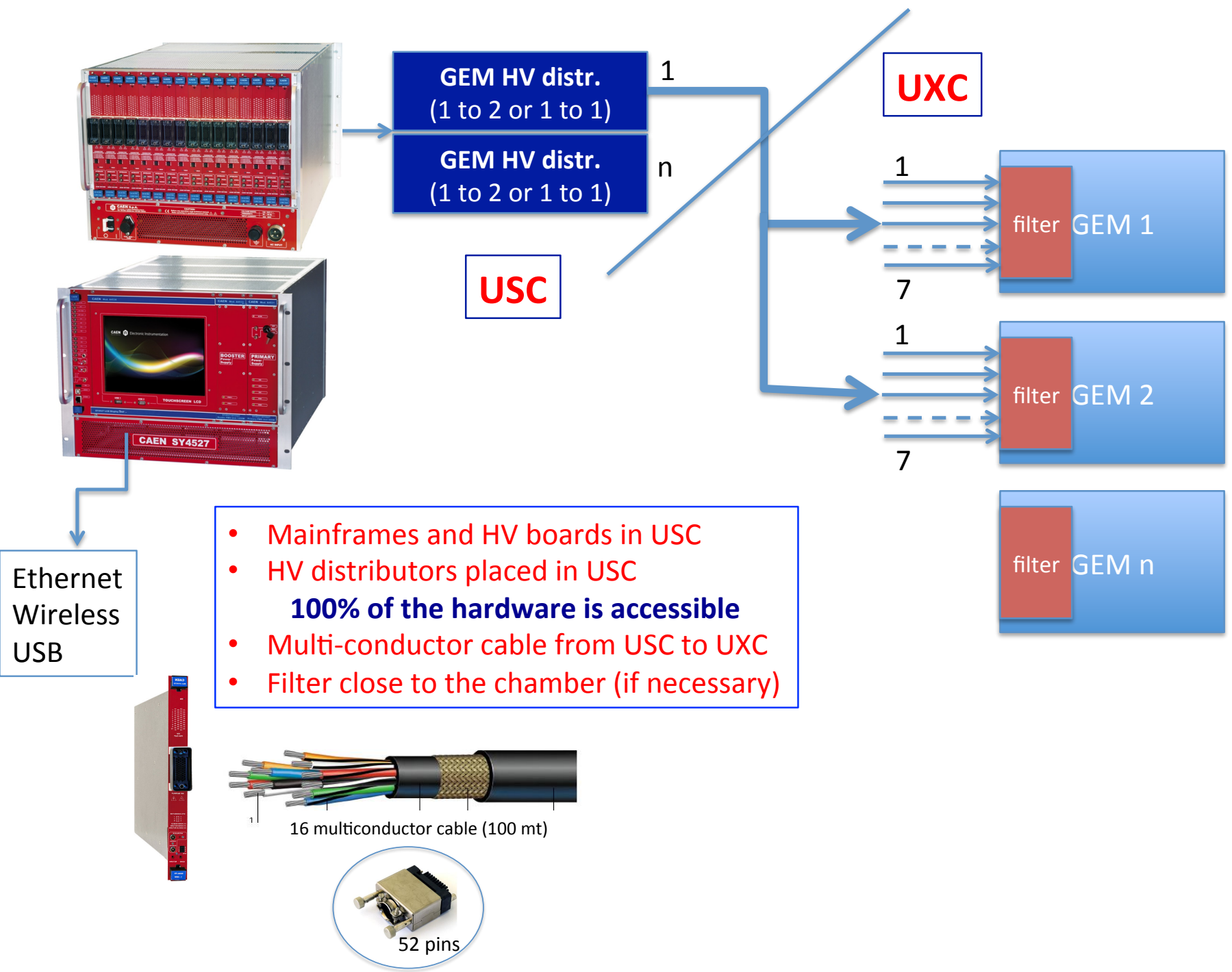
MEO (2023) è in fase di definizione

Sistema di canali HV complessi

- GE1/1: 7 canali HV indipendenti ed isolati
 - sistema “compatto” in area non ostile
 - ramp-up/down ben sincronizzato (controllo ΔV tra i fogli)
 - in caso di short su 1 segmento HV, l'alimentatore mantiene la tensione assicurando la corrente attraverso le protezioni a $10 \text{ M}\Omega$



CAEN A1515TG



Assure a very high **stability** of the detector

- No over-voltage during the ramping
- Voltage stability = $0.01\%/\text{°C}$
- Voltage stability at fixed temperature $< 0.01\%$

Low noise induced on the chamber and front-end

Very fast feedback in case of local discharge

Operating Range 0-5 KV and 0-1 mA
Accessibility (great part of the system)
Hardware and software voltage **limitation**
Compatible with CMS DCS and DSS system

Rinnovamento dei vecchi sistemi di alimentazione

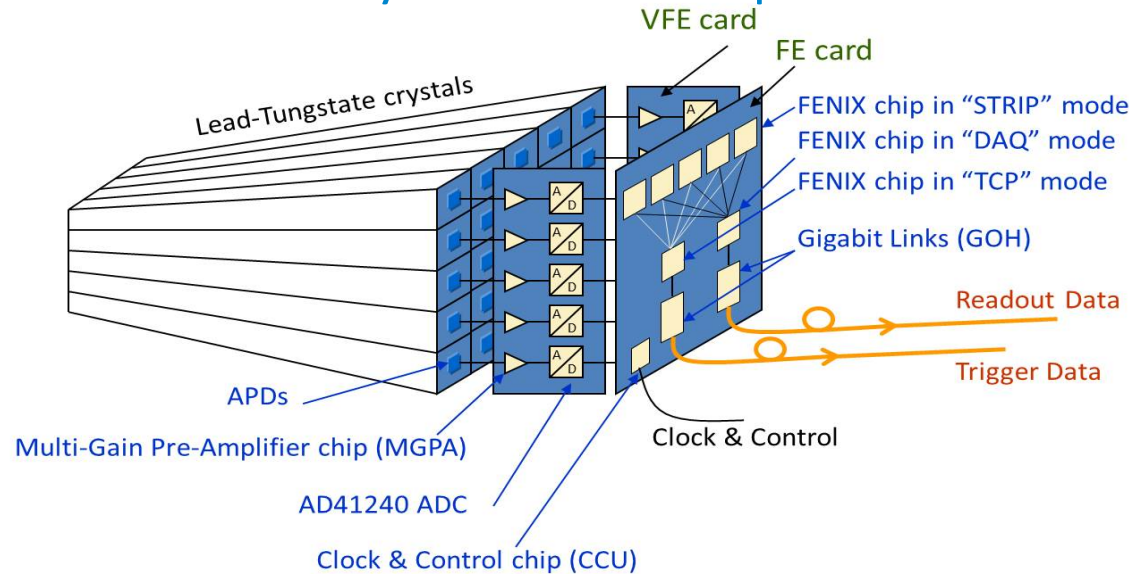
- Sostanziale il coinvolgimento italiano nei sistemi di alimentazione dei rivelatori per μ già installati, sia per ATLAS che CMS
- Da capire lo scenario di manutenzione/sostituzione per HL-LHC.
- Esempio: sistemi LV e HV per ATLAS: MDT, RPC, TGC
 - basati su sistema CAEN EASY 3000
 - Obsolescenza. Reperibilità dei componenti. Contratto di manutenzione in scadenza.
 - Rinnovo dei sistemi di controllo:
 - ✓ necessità di adottare nuovi protocolli di comunicazione per evitare collo di bottiglia
 - Invecchiamento da radiazione. Il sistema è certificato per una luminosità integrata di $\sim 1700 \text{ fb}^{-1}$: abbastanza per finire la fase1 ma non per terminare la fase2
- Il sistema può funzionare fino al 2029 ma non fino al 2034.
 - Elevato il costo per rimpiazzare tutto insieme: $\sim 10 \text{ M}\text{\euro}$
- sostituzione graduale dei componenti distribuita su 4-5 anni di tempo
 - sistema retro-compatibile con i protocolli DCS già in uso

Calorimetri

Rivelatori nuovi (calorimetro di CMS in avanti) o comunque FE nuovo dei rivelatori → sistema di alimentazione da rifare

CMS ECAL barrel

61200 PWO crystals with APD photon sensors.



Principali upgrades:

- abbassamento T esercizio (8 deg) → mitigato l'effetto della rad. sulla risoluzione
- nuova elettronica VFE/FE/BE
- GBT @ 10Gbps → trasferimento dati dai cx a 40 MHz

LV: adesso: regolatori low-voltage resistenti alla radiazione (LHC4913 ST-microelectronics)

→ upgrade: convertitori DC-DC serie “FEAST”. Pronto il primo prototipo della scheda con i DC-DC montati.

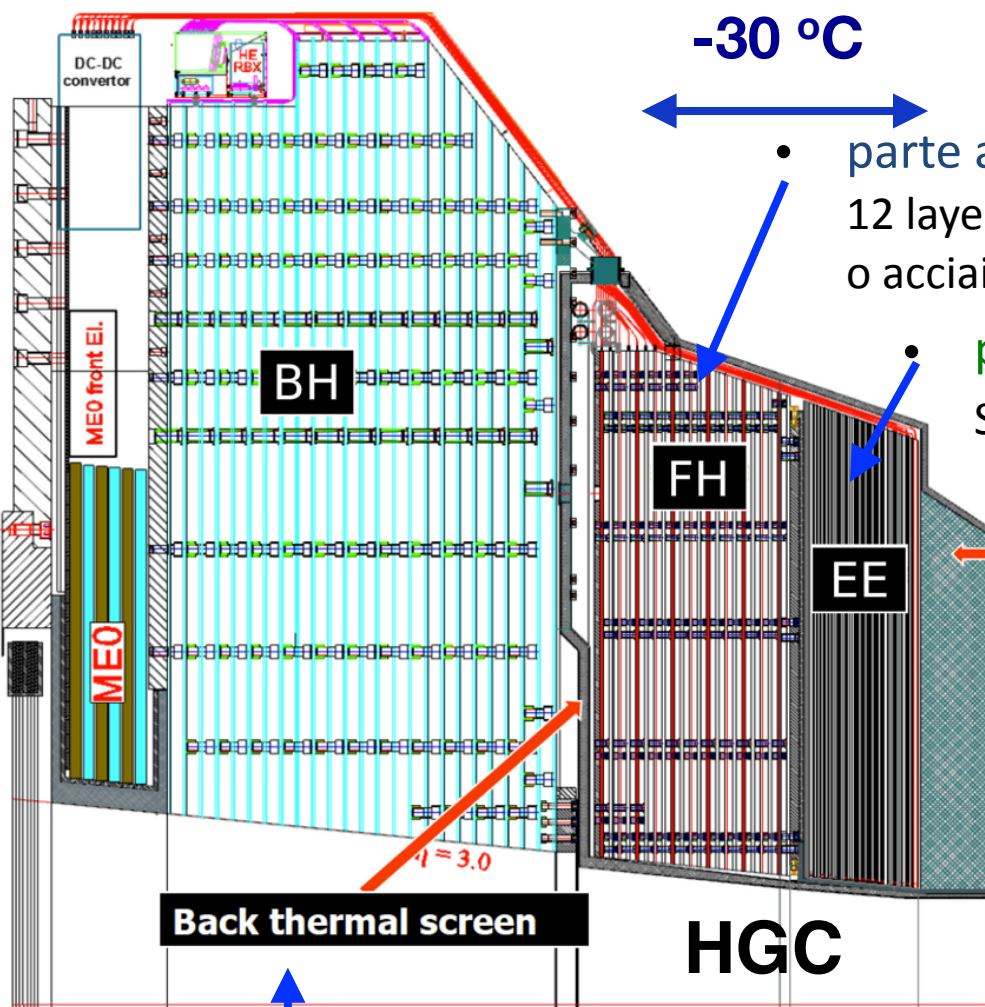
LV: back-end: basato su sistema Maraton della Wiener, collocato nella caverna di CMS.

Power ~ 150 kW → upgrade: **nuovo sistema da rifare.**

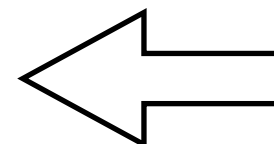
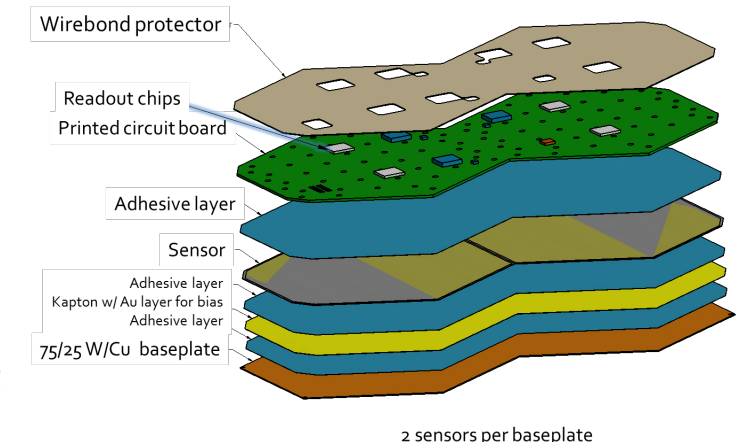
HV for the APDs: adesso CAEN SY4527+ board A1520PE (1224 channels), installata in USC (HV fino a 500 V, I<15mA, estrema stabilità e precisione su 120 m di cavi, sistemi dotati fili di sense). → Da rifare per l'upgrade a causa dell'obsolescenza dei componenti.

CMS HGC

- sostituzione dei calorimetri negli endcap di CMS
- misura di jets, τ -jets, boosted jets, ...



- parte adronica: (3.5 λ):
12 layers di Silicio/ottone
o acciaio
- parte e.m. (26 X_0 , 1.5 λ): 28 layers di
Silicio con assorbitore W/Cu

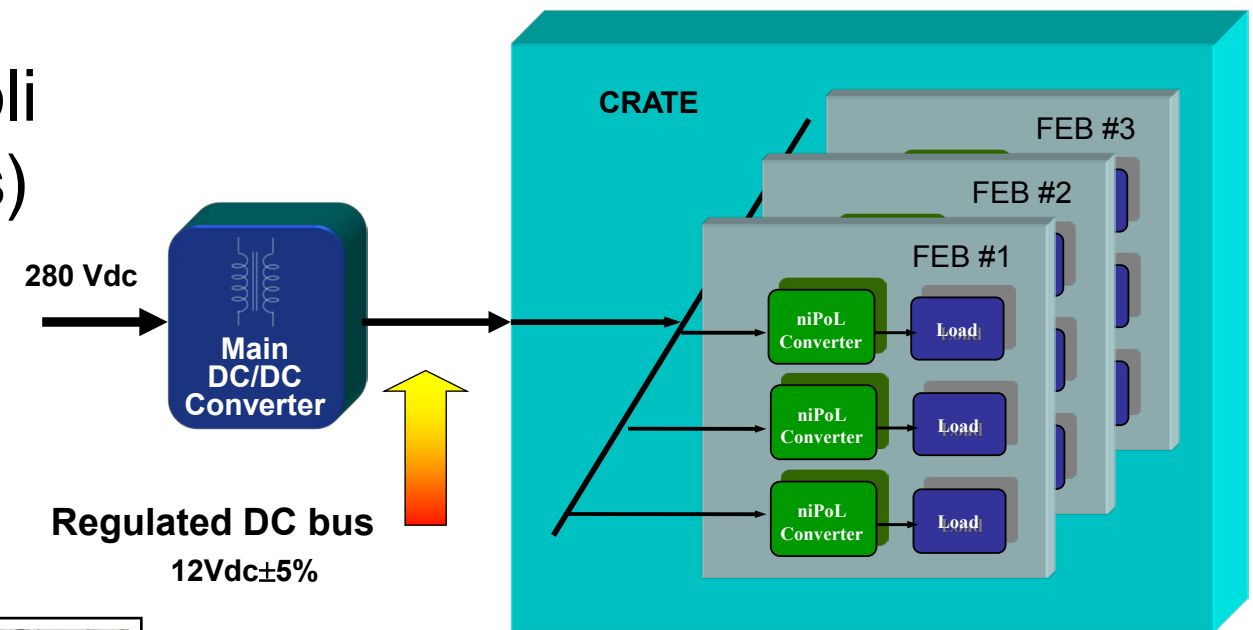
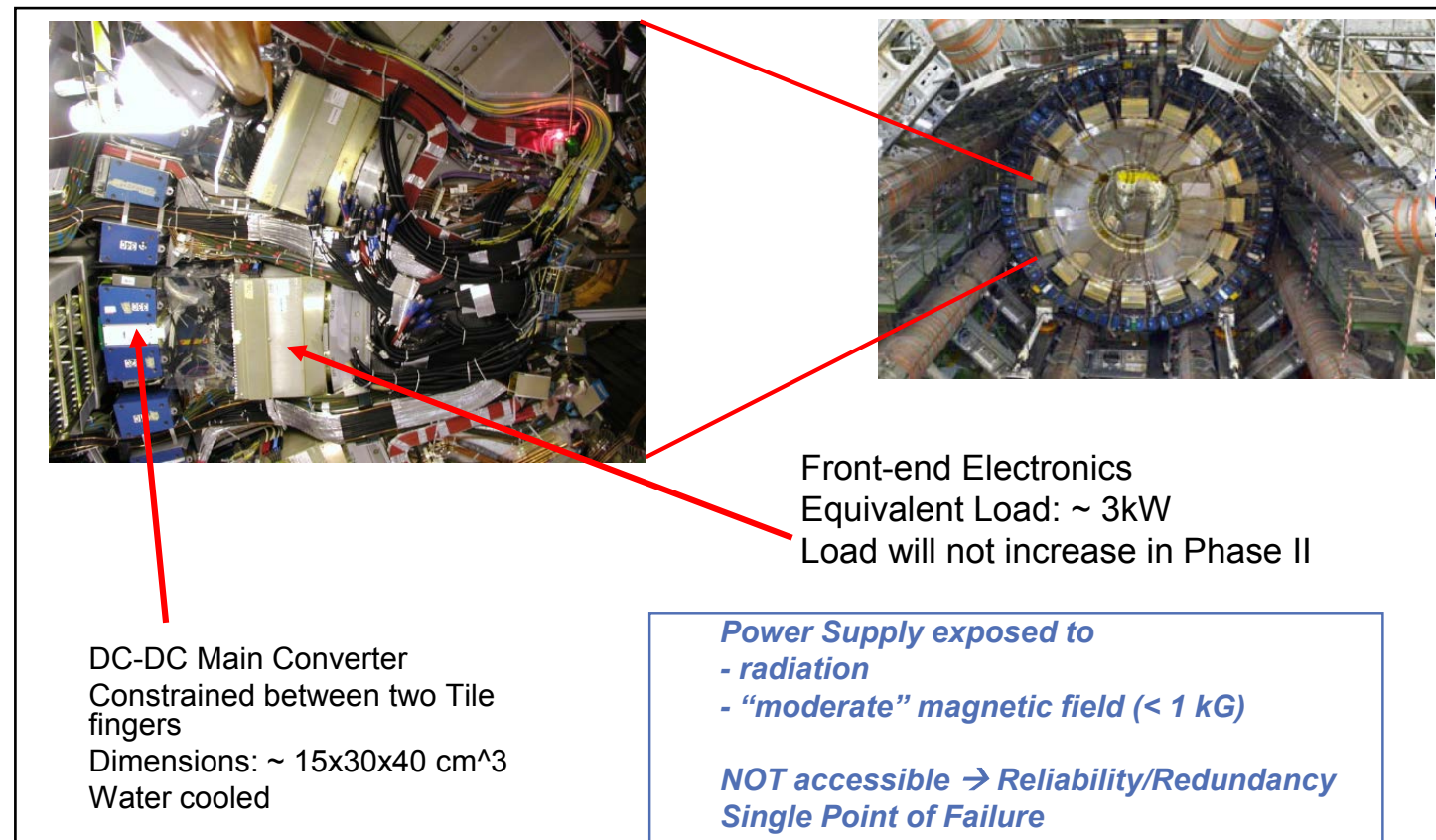


~ 2 x 50 kW @ 1.2V
uso di DC/DC
Backend da definire.

- BH (5 λ) → 12 layers di Scintillatore/ottone (acciaio)
- 593 m^2 di silicon
- 6M canali, celle di 0.5-1 cm^2
- 52 layers
- 21,660 moduli (sensori 8" o 2x6")

ATLAS LAr

- Elettronica FE e BE da cambiare → uso di PoL sul FE.
- sviluppo di alimentatore DC/DC intermedio in zona ostile con forti vincoli di spazio (constrained b/w 2 tile fingers)
- alternativa: sistema BE in area non-ostile
- TDR per autunno 2017



March 8, 2016

ACES - CERN

Mauro Citterio

High DC conversion-ratio converters

	Simulation (one year)	Safety Factor	Test Target* (10 years)
Ionizing Dose	3.0 rad	10	100 krad
1 MeV eq. Neutron	$6.0 \times 10^{11} \text{ cm}^{-2}$	2	$1.2 \times 10^{13} \text{ cm}^{-2}$
Hadrons (>20 MeV)	$8.5 \times 10^{10} \text{ cm}^{-2}$	2	$2 \times 10^{12} \text{ cm}^{-2}$

*1 LHC year = 10^7 s , $\sigma_{pp} = 80 \text{ mb}$, Luminosity = $5 \times 10^{34} \text{ cm}^{-2} \text{s}^{-1}$

x 10

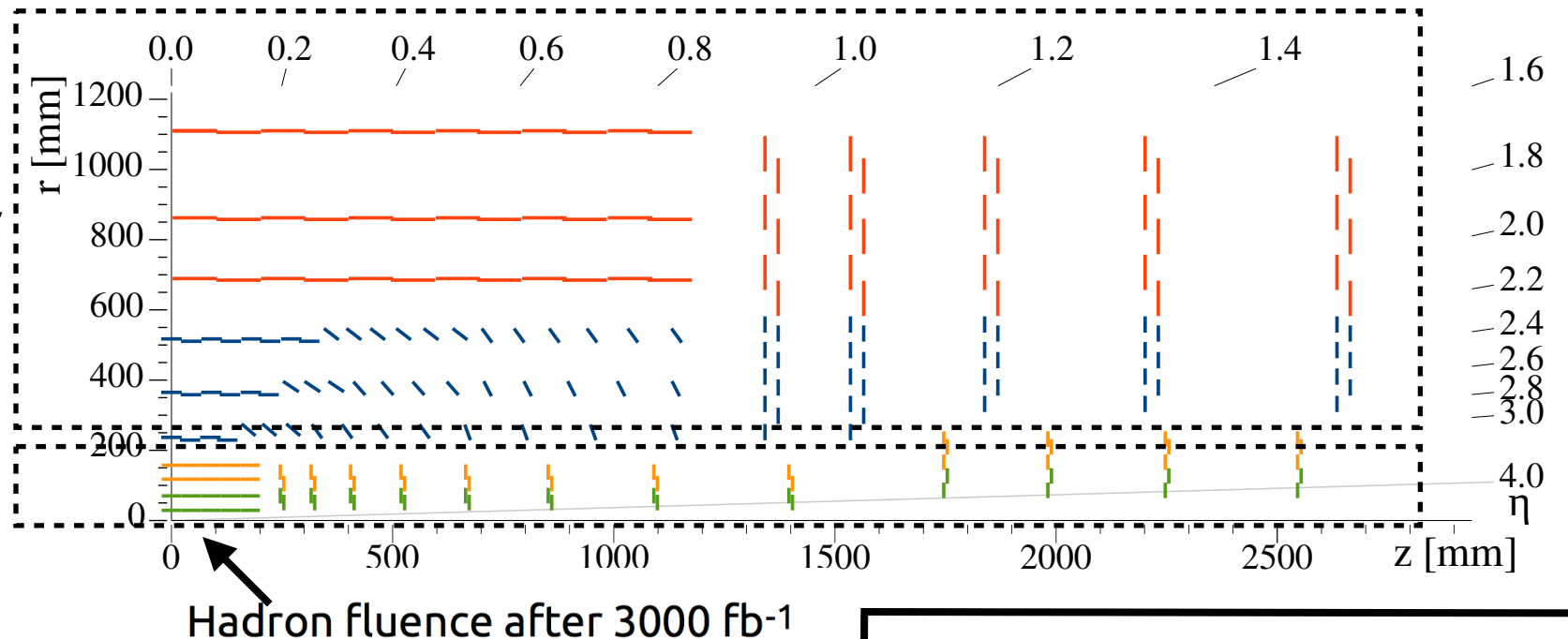
Tracciatori

Sia ATLAS che CMS devono sostituire interamente
i tracciatori → sistemi fortemente innovativi per
resistere alla radiazione ed assicurare il flusso di
dati necessario

tracker di CMS per HL-LHC

Outer Tracker
~100 kW @ ~ 11V

Internal Tracker
~40 kW @ ~ 1.2V



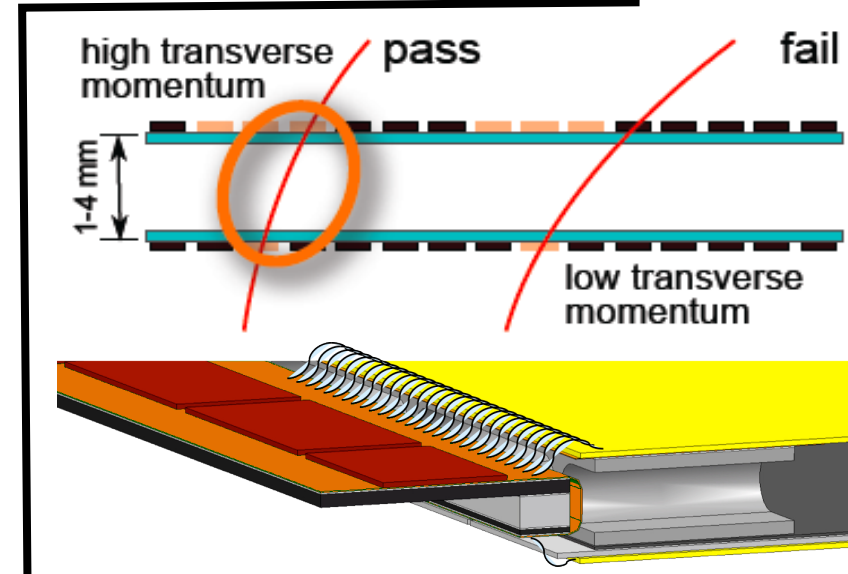
Inner Tracker (pixels):

~ 4000 modules

~ 13000 R/O chips (RD53)

Studi in sinergia con ATLAS:

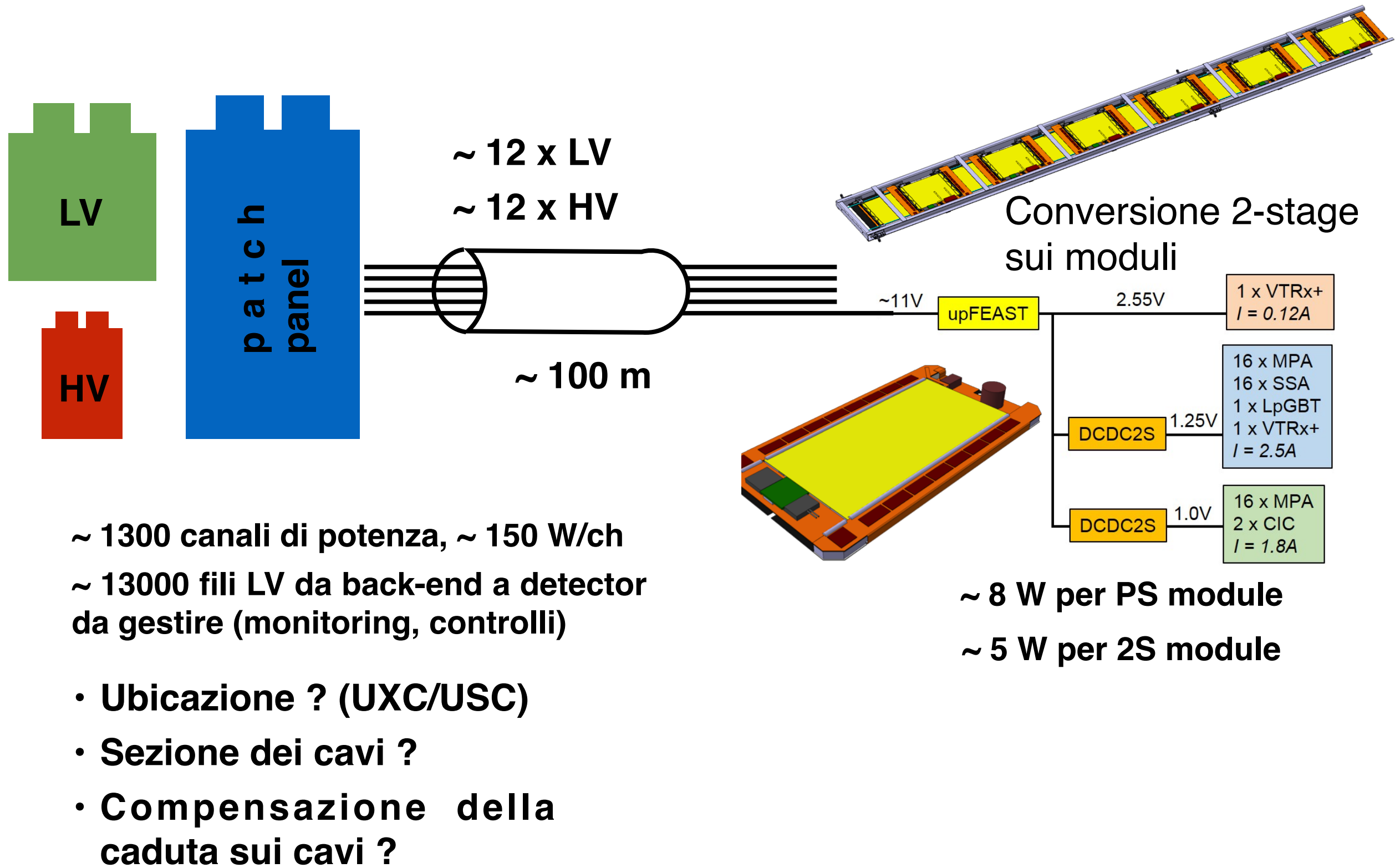
- tecnologia dei sensori (n-in-p: 3-D, planari con/senza bordo attivo, ...)
- chip di lettura \rightarrow RD53
- alimentazione \rightarrow serial powering



Outer Tracker:
~ 8200 2S modules
~ 5300 PS modules

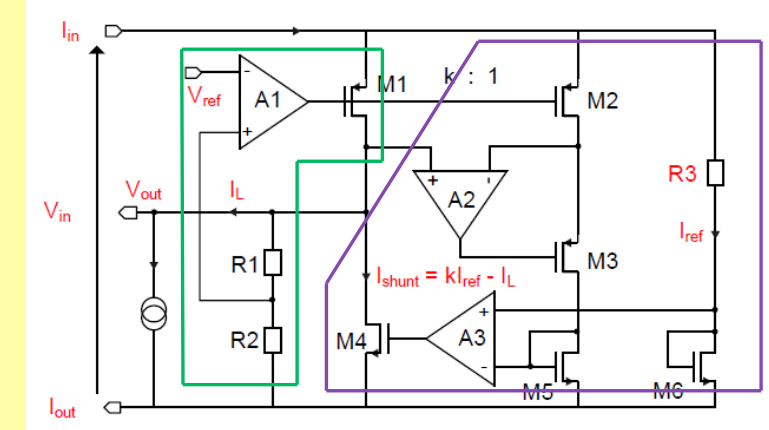
Correlazione
sopra/sotto
effettuata
dall'elettronica di
FE sul modulo

Possibile schema OT CMS

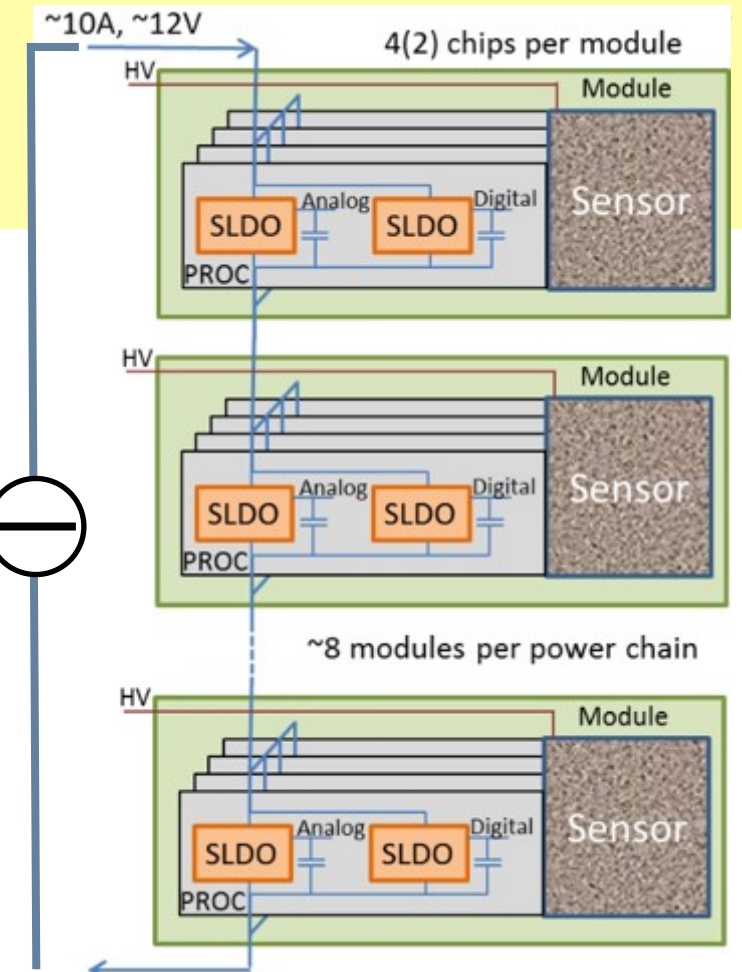


Inner Tracker: Serial Powering

- livelli di radiazione e vincoli di spazio e material budget escludono l'uso dei DC/DC sui moduli pixel
- l'opzione di base per ATLAS e CMS è uno schema di alimentazione in serie (SP)
- sviluppo in collaborazione tra ATLAS e CMS:
 - ✓ ATLAS parte dall'esperienza fatta col progetto IBL
 - ✓ FEI3, FEI4 sono dotati di circuito “shunt-LDO” e possono essere configurati per S.P.
 - ✓ in corso studi su SP utilizzando FEI4 in piccoli setup
 - ✓ prossimi test su 65nm Shunt-LDO test chip irraggiati
 - ✓ shunt-LDO verrà incluso nel chip RD53



SHUNT-LDO. credits: M.Karagounis



Possibile configurazione del sistema:

- ~500 power loops in corrente
- $I \sim 10A$
- $V \sim 10-20 V$

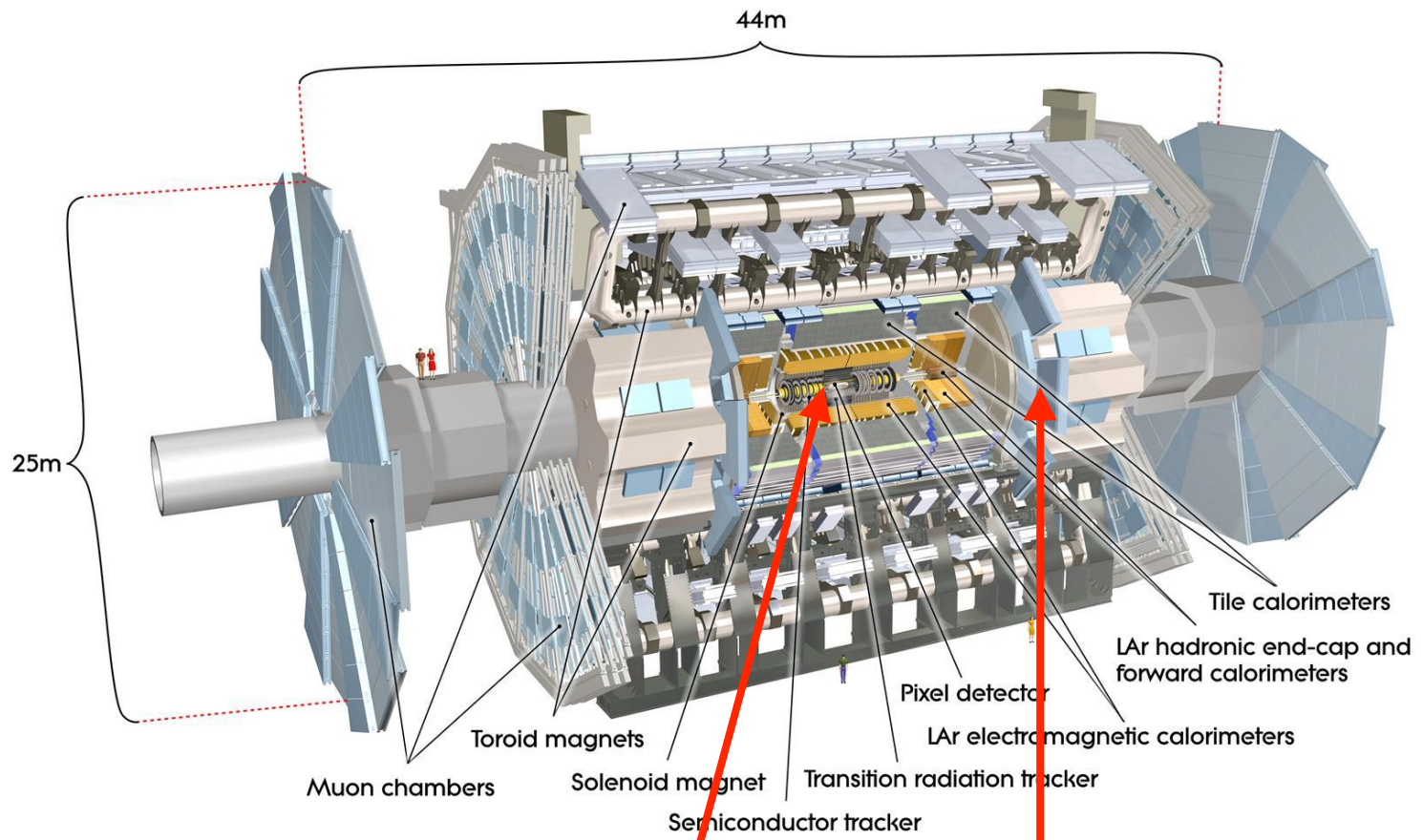
Collaborazione INFN-CAEN nell'ambito del progetto della Regione Toscana NEOLITE per lo sviluppo di una sorgente di corrente

Conclusioni

- Le future fasi di funzionamento di LHC comporteranno delle richieste mutate sui rivelatori e sulle alimentazioni:
 - maggiore densità di canali
 - elettronica di FE di nuova generazione
 - ambiente in caverna $\sim 10x$ più ostile
- Necessità comune di aggiornare l'infrastruttura e standard di comunicazione (es. DCS)
- In particolare per calorimetri e tracciatore:
 - maggiore modularità e potenza richiesta a tensioni più basse
 - uso diffuso di DC/DC converter sul detector o nelle vicinanze
 - studio in corso per alimentazioni con schema in serie per i rivelatori pixel

backup

ATLAS, upgrade di fase1



(LS1) IBL e nuova beam pipe

- px layer a 3.3mm dai fasci
- 14 staves x (12 sens. planari + 8 sens. 3-D letti da chip FEI4)

NSW - New Small Wheel

- stazione più interna degli endcap dello spettrometro a muoni. sTGC + Micromegas.
- r/o e trig “PHASE2 READY”

Nuovo TRIGGER L1

- 100 KHz L1-accept rate
- supercelle calorimetriche ad alta granularità.
- Dati processati da tre “Feature Extractors” (FEX’s) per p.ID (eFEX: e- γ , jFET: Jets, gFET: large R-jets)

FTK (Fast Tracker)

- tracking completo ($pt > 1\text{GeV}$) a 100 kHz @ HLT
- pattern recognition e track fitting basati su AM e FPGA

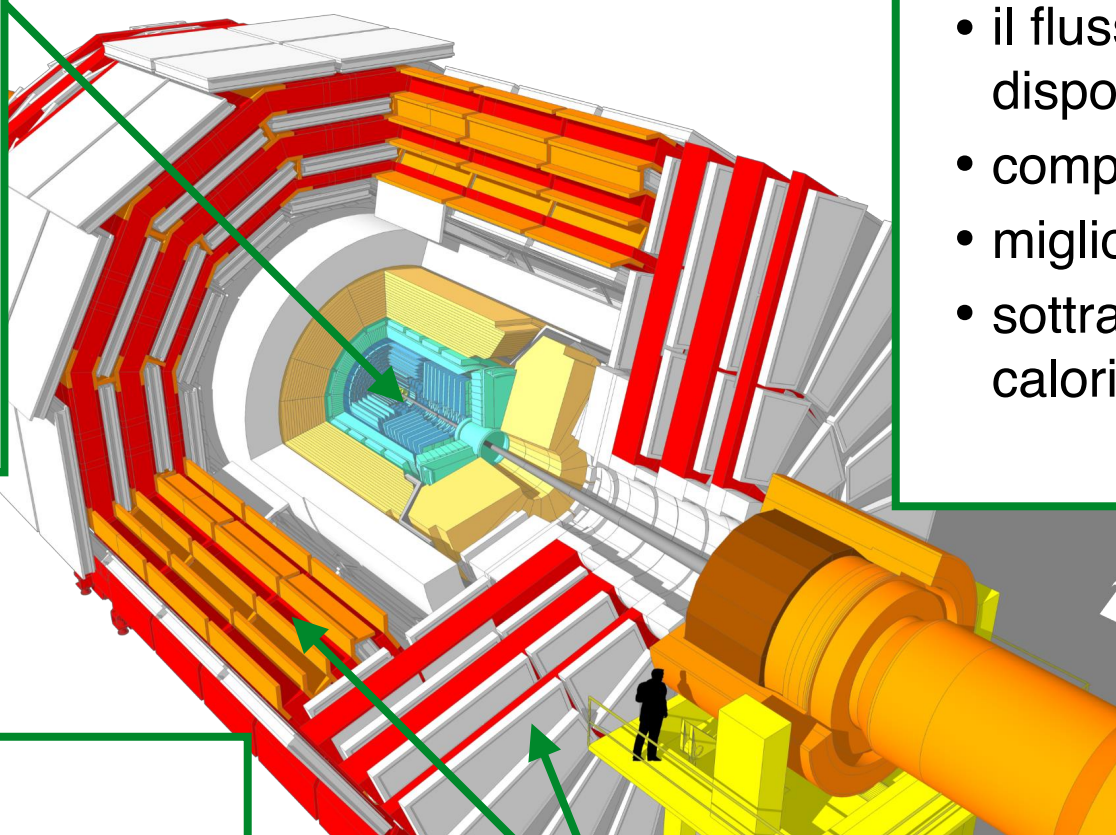
LAr Phase-1 Upgrade

- L1 trigger - incremento di un ordine di grandezza nella segmentazione delle torri di trigger (granularità fino a $\Delta\eta \times \Delta\phi = 0.025 \times 0.1$)
- digitalizzazione on-detector

CMS, upgrade di fase1

NEW pixel

- chip r/o permette di operare @ $2\text{E}34 \text{ Hz/cm}^2$ fino a $L_{\text{int}} \sim 500\text{fb}$
- 4 layer barrel, 3 dischi \rightarrow migliorata risoluzione in IP e efficienza HLT
- riduzione material budget \rightarrow nuova meccanica di supporto e nuovi servizi: DC-DC power, cooling bifase a CO₂



TRIGGER L1.

Elettronica “back end” rinnovata (sistema modulare basato su FPGA). Trasmissione dati su fibra ottica.

Incrementati sostanzialmente:

- il flusso di dati e la granularità disponibili a L1
- complessità nelle decisioni L1 (es. τ ID)
- migliore integrazione del sistema μ
- sottrazione PU sulle primitive calorimetriche

HCAL (HB, HE, HO):

- nuovi fotorivelatori (SiPM al posto di HPD)
- elettronica “Front End” + “Back End”

- HF:

- nuovi fotorivelatori: MA-PMT al posto dei PMT

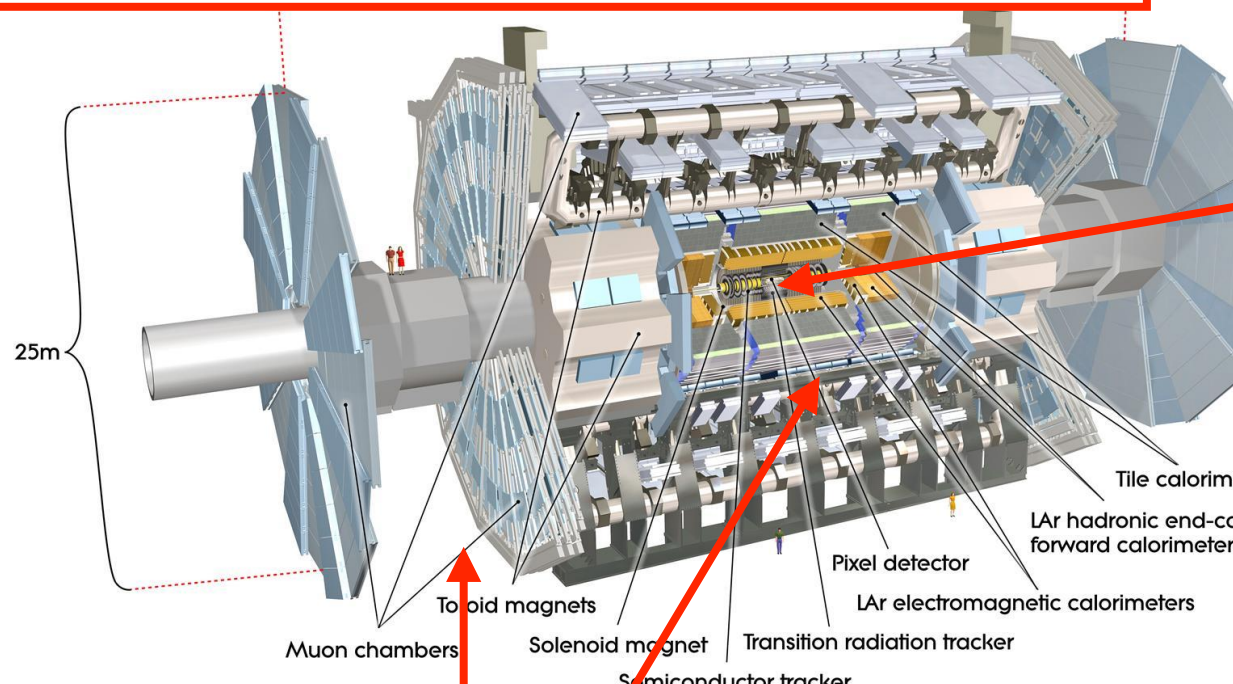
Rivelatori μ

- YE4 \rightarrow quarto endcap μ (CSC, RPC) durante LS1
- DT: sostituita l’elettronica sulle camere (minicrate). ROS (readout server) e TSC (trigger sector collector) spostati in USC. Segnale digitalizzato sulle camere e trasferito via link ottico in USC.

ATLAS, upgrade di fase2

Nuova architettura TRIG

- L0 [Calo+muon] rate ~ 1 MHz, latenza $\sim 6/10 \mu\text{s}$
- Event Filter: (10KHz output)
 - L1 Track \rightarrow “regional tracking” ($\text{pt} > 4\text{GeV}$) ad alto rate
 - FTK++ \rightarrow tracciatura $\text{pt} > 1\text{GeV}$ @100kHz



Camere a muoni

- Nuova elettronica r/o per RPC e TGC
- Nuova elettronica r/o per MDT (L1)
- Nuove “thin-gap” RPC + sMDT ($30\text{mm} \rightarrow 15\text{mm}$) nel layer più interno del barrel
- high- η tagger per coprire fino a $|\eta| = 4$

ITK

- Nuovo tracciatore interno interamente al silicio. Layout da finalizzare. Copertura fino a $\eta=4$
- Strips:
 - 4 layers barrel, 6+6 dischi endcaps, moduli doppia faccia
 - sensori n-in-p (p-stop) spessi $320\mu\text{m}$.
 - Lettura digitale tramite “ABC130” (130 nm CMOS) con doppio buffer.
 - Alimentazione: DC/DC converter sul rivelatore
- pixels:
 - 5 layers barrel, vari layers endcap
 - varie opzioni ancora aperte per la scelta della tecnologia dei sensori

Front End upgrade:

- Elettronica LAr (FE+BE): streaming di tutti i dati con digitizzazione “on detector” a 40/80 MHz
- Elettronica del Tile Cal.

CMS, upgrade di fase2

TRIGGER:

- L1 Track Trigger (hw)
- 750 kHz L1 rate, $12.5 \mu\text{s}$ latency
- 7.5 kHz HLT output

ECAL B:

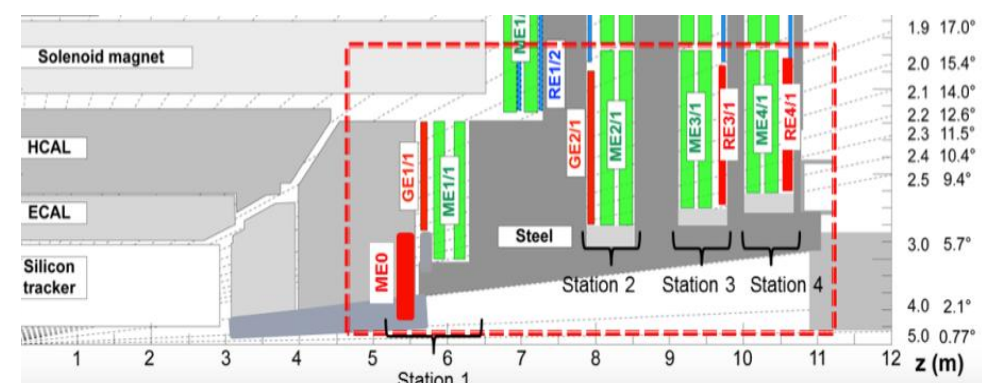
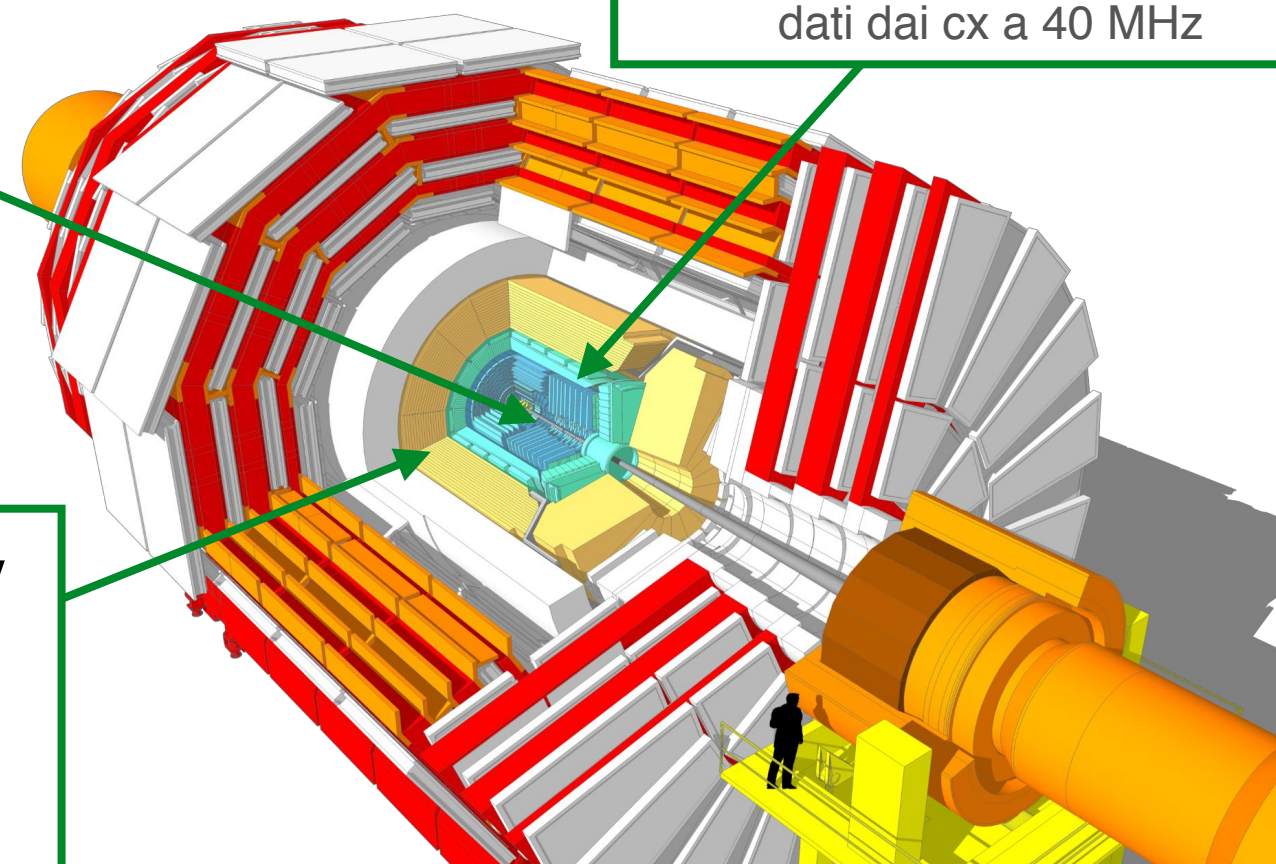
- diminuita T (8 deg) → mitigato l'effetto della rad. sulla risoluzione
- nuovi VFE/FE/BE
- GBT @ 10Gbps → trasferimento dati dai cx a 40 MHz

Nuovo tracciatore: px+outer tracker

- Rad. tolerant - più leggero - maggiore granularità
- r/o selettivo a 40 MHz per L1 trigger
- Accettanza estesa fino a $\eta \approx 3.8$

Nuovo endcap “High Granularity Calorimeter”

- Rad. tolerant
- segmentazione trasversale e longitudinale
- capacità di timing



Potenziamento rivelazione μ

- nuova elettronica FE/BE per (DT+CSC)
- RPC → fino $\eta < 2.4$
- μ -tagging ad alto η : GEM/FTM/iRPC/ μ R-well ...

Rivelatori per μ

- ATLAS: MDT, RPC, TGC LV e HV:

- sistema CAEN EASY3000
- HV fino a 10kV, LV power 122kW
- certificato per B, rad corrispondenti a 10y di LHC L nominale ($10^{34} \text{ cm}^{-2} \text{s}^{-1}$)

✓ tests di irraggiamento a varie facility:
Louvain-La-Neuve (p e n), Uppsala (p),
Prospero (n), Casaccia (γ)

✓ γ : 140 Gy, HEH: $2 \times 10^{11} \text{ cm}^{-2}, n_1\text{-MeV}$:
 $2 \times 10^{12} \text{ cm}^{-2}$

✓ B: 2kG

- Composizione:

✓ schede con canali HV e LV “floating” sulle balconate
✓ sistema “bulk” di AC/DC converter in US15 (100m cavo) o sulle balconate (RPC-TGC, 20m cavo)

- in base alle simulazioni ed alla revisione dei fattori di sicurezza, la vita media del sistema è stimata in $1700 \text{ fb}^{-1} \rightarrow$ abbastanza per finire la fase1 ed iniziare la fase2, ma non per portarla a termine.

